

การวัดค่าล้มประลิทธ์อุณหภูมิบ่อนกสับแบบฉบับพลังสั่น
ของเครื่องปฏิกรณ์ปรมาณูรีด-1 / ปรับปรุงครั้งที่ 1



นายภาณุ อุทโยภาค

ศูนย์วิทยทรัพยากร

วิทยานิพนธ์นี้ เป็นล้วนหนึ่งของการศึกษาตามหลักสูตรปริญญาวิศวกรรมศาสตร์ระดับบัณฑิต

ภาควิชานิวเคลียร์ เทคโนโลยี

บัณฑิตวิทยาลัย ลูกน้ำจันทร์มหาวิทยาลัย

พ.ศ. 2527

ISBN 974-563-345-3

014766 } 1111869

PROMPT TEMPERATURE FEEDBACK COEFFICIENT MEASUREMENT
OF TRR-1/M. 1

Mr. Panu Utayobhas

A Thesis Submitted in Partial Fulfillment of the Requirements
for the Degree of Master of Engineering

Department of Nuclear Technology

Graduate School

Chulalongkorn University

1984



หัวข้อวิทยานิพนธ์ การวัดค่าสัมประสิทธิ์อุณหภูมิบ้อนกลับแบบฉบับพลันของเครื่องปฏิกรณ์ปรามาลูน
รุ่ง-1/ปรับปรุงครั้งที่ 1

โดย นายภาณุ อุกโภภาต

ภาควิชา นิวเคลียร์เทคโนโลยี

อาจารย์ที่ปรึกษา ดร. มนูญ อรุณรัตน์

บัณฑิตวิทยาลัย จุฬาลงกรณ์มหาวิทยาลัย อนุมัติให้นับวิทยานิพนธ์ฉบับนี้ เป็นล่วงหนึ่ง
ของการศึกษาตามหลักสูตรปริญญามหาบัณฑิต

..... อุปนายิก คณบดีบัณฑิตวิทยาลัย

(รองค่าล่ตร้าราชการ ดร. สุประดิษฐ์ บุนนาค)

คณะกรรมการลือบวิทยานิพนธ์

..... ที่ปรึกษา ประธานกรรมการ

(ค่าล่ตร้าราชการ ลุวรรษ แสงเพ็ชร)

..... ที่ปรึกษา กรรมการ

(รองค่าล่ตร้าราชการ ดร. รัชชัย สุวิตร)

..... ที่ปรึกษา กรรมการ

(รองค่าล่ตร้าราชการ วิรุฬห์ มังคละนิรัช)

..... ที่ปรึกษา กรรมการ

(ดร. มนูญ อรุณรัตน์)

ลิขสิทธิ์ของบัณฑิตวิทยาลัย จุฬาลงกรณ์มหาวิทยาลัย

หัวข้อวิทยานิพนธ์ การวัดค่าสัมประสิทธิ์อุณหภูมิย้อนกลับแบบลับพลันของเครื่องปฏิกรณ์ประมาณ
รุ่ย-1/ปรับปรุงครั้งที่ 1

ชื่อนิสิต นายภาณุ ฤกษ์โยภาส
อาจารย์ที่ปรึกษา ดร. มนูญ อรุ่ำรัตน์
ภาควิชา ณิเวศสิริเทคโนโลยี
ปีการศึกษา 2526



บทคัดย่อ

ในการวิจัยการวัดค่าสัมประสิทธิ์อุณหภูมิย้อนกลับแบบลับพลันของเครื่องปฏิกรณ์ประมาณรุ่ย-1/ปรับปรุงครั้งที่ 1 ได้ใช้เทคนิคการกระเทือมกำลังขนาดย่อมที่ค่าเบสิ่นวิกฤตต่าง ๆ กัน (ไม่เกิน 60 เซนติ) คำนวณค่าสัมประสิทธิ์อุณหภูมิย้อนกลับแบบลับพลันจากข้อมูลระดับกำลังของเครื่องปฏิกรณ์ และอุณหภูมิของแท่ง เชือเพลิงที่รัดได้บริเวณที่หัวกลางแท่ง เชือเพลิง B1 ขณะที่เครื่องปฏิกรณ์ถูกกำลังสูงสุด โดยใช้ล้มการประมาณการกระโดดของความหนาแน่นนิวตรอนที่พิจารณาในตัวอย่างกลุ่มเดียว กฎการระบายน้ำร้อนของนิวตัน และล้มมูลบัญชีของค่าเบสิ่นวิกฤตเชิงเส้น

ผลจากการวิจัยพบว่าค่าที่ย่านอุณหภูมิเฉลี่ยโดยประมาณของแท่ง เชือเพลิงระหว่าง $53-57^{\circ}\text{C}$ ซึ่งเป็นย่านอุณหภูมิที่ได้จากการวิจัย ค่าสัมประสิทธิ์อุณหภูมิย้อนกลับฯ ฝึกเฉลี่ย-1.39 เซนติ/ $^{\circ}\text{C}$ ใกล้เคียงกับค่าที่ได้จากการวัดการรดการสูญเสียค่าเบสิ่นวิกฤต และเทคนิคการกระเทือมกำลังขนาดย่อมของมหาวิทยาลัยอริโซนา และมีค่าสูงกว่าค่าที่ได้จากการคำนวณของบริษัท เจนอร์ลอะตอมมิก สำหรับแท่ง เชือเพลิงมาตรฐานประมาณ 16 เปอร์เซนต์



Thesis Title: Prompt Temperature Feedback Coefficient Measurement
of TRR-1/M 1

Name: Mr. Panu Utayobhas

Tesis Advisor: Dr. Manoon Aramrattana

Department: Nuclear Technology

Academic Year: 1983

ABSTRACT

Prompt temperature feedback coefficient measurement of TRR-1M/1(TRIGA MARK III) at the Office of Atomic Energy for Peace was carried out by direct measurements of heat transfer and reactor power characteristics during small power excursion experiment (reactivities less than 60 ¢). An instrumented fuel element at position B1 was used to measure the temperature characteristic of fuel elements. From measured reactivities and heat transfer, prompt temperature feedback coefficient was calculated by using prompt-jump and one-delayed-neutron-group approximated diffusion equation, Newton's Law of Cooling, and linear reactivity equation. The core loading was mainly standard fuel elements.

Averaged value of prompt temperature feedback coefficient obtained was -1.39 ¢/°c over the temperature range from 53 °c to 57 °c. The result is comparable to that obtained, by similar experiment, at the University of Arizona and about 16 percent above that reported by General Atomic Company, supplier of the reactor.



กิติกรรมประจำคต

ผู้เขียนขอขอบพระคุณ อาจารย์ ดร. มนูญ อร่ามรัตน์ กองอุปกรณ์อิเลคทรอนิกส์
สำนักงานพลังงานประมาณเพื่อสันติ ที่ได้ช่วยเหลือและให้คำแนะนำทั้งทางด้านวิชาการและปฏิบัติ
การในการวิจัย ตลอดจนแก้ไขตรวจสอบวิทยานิพนธ์ฉบับนี้จนเสร็จสมบูรณ์ อาจารย์ ดร. พัลลพล
ฉิตาภรณ์ รศ.ดร. รชชัย สุเมตร ที่ให้คำแนะนำทางด้านวิชาการเพิ่มเติมรวมทั้งกองบัญชาการ-
ปฏิบัติ สำนักงานพลังงานประมาณเพื่อสันติ ที่ให้ข้อมูลที่จำเป็นและอำนวยความสะดวกในทุกด้าน¹
กองการวัดกัมมันตภาพรังสี กองลุ่มภาพ กองพิสิเก็ล สำนักงานพลังงานประมาณเพื่อสันติ ที่อ่านวิ
ความลับเฉพาะในด้านเครื่องมือวัด

พร้อมกันนี้ขอขอบพระคุณ คุณรัตนะ พุ่มเล็ก คุณภาณุญาวงศ์ จีระล้านต์ และคุณประลิม
สุขล่วง ที่ให้ความสนับสนุนการวิจัยครั้งนี้

ขอขอบคุณ คุณยุทธพงศ์ บุษมาศล คุณมงคล ลุลละนันท์ คุณคุณชัย อุดมลัมพ
คุณประแลรฐ วชิราพุฒิ คุณนพพร ต่อแลงค์รี คุณมาโนย ฉิมกิน คุณไพบูลย์ กลั่นเกษตร
คุณเกรียงไกร เกื้อขาติ คุณสมบูรณ์ จิรขานยชัย คุณລາຍ ศิริภัณฑ์ ยศ.น.ร.ศ. ลันกร์ขาว
คุณศิริรัตน์ ศิริมนตรี คุณวิทยา วรลักษิต ที่ให้ความช่วยเหลือในการปฏิบัติงานวิจัยและให้
คำแนะนำต่าง ๆ

สุดท้ายนี้ ขอขอบคุณ คุณนฤมล วิริยะวนதยาน ที่ได้ช่วยเหลือจัดทำเอกสาร
เป็นอย่างดี

จุฬาลงกรณ์มหาวิทยาลัย



สารบัญ

หน้า

บทคัดย่อภาษาไทย	๔
บทคัดย่อภาษาอังกฤษ	๕
กิจกรรมประจำภาค	๖
สารบัญตาราง	๗
สารบัญภาพ	๘

บทที่

1. บทนำ	1
1.1 ความเป็นมาของปัญหา	1
1.2 วัตถุประสงค์การวิจัย	2
1.3 ขอบเขตของการวิจัย	4
1.4 ขั้นตอนและวิธีดำเนินการวิจัย	4
1.5 ประโยชน์ที่คาดว่าจะได้รับจากการวิจัย	4
1.6 ข้อมูลของค่าสถิติที่ใช้ในกลับแบบสัมภาษณ์	5
2. ทฤษฎี	11
2.1 สิ่งแวดล้อมทางกายภาพของนิวัตรอน	12
2.2 นิวัตรอนล่า	12
2.3 สิ่งแวดล้อมปัจจัยสนับสนุน	14
2.4 ความสัมพันธ์ระหว่างค่าคงตัวเวลา เสียง กับค่าเปลี่ยนวิถี	20
2.5 เทคนิคการวัดค่าคงตัวเวลา เสียง	24
2.6 สิ่งแวดล้อมเตียบ	27
2.7 สิ่งแวดล้อมทางกายภาพของนิวัตรอน	30
2.8 สิ่งแวดล้อมที่ใช้ในการวัด	33

สารบัญ (ต่อ)

บทที่		หน้า
2.9	สัมประสิทธิ์อุณหภูมิย้อนกลับแบบลับพลัน	37
2.10	การกระเพื่อมกำลังขนาดย่อม	43
3.	เกติกิจกรรมหาค่าสัมประสิทธิ์อุณหภูมิย้อนกลับแบบลับพลัน	52
3.1	เครื่องปฏิกรณ์ประมาณวิจัย-1/ปรับปรุงครั้งที่ 1	53
3.2	แกนเครื่องปฏิกรณ์	53
3.3	แท่งเซื้อเหลิง	55
3.4	แท่งควบคุม	58
3.5	แผงควบคุม	61
3.6	การประมาณค่าพิเศษแก็สเตอร์	63
3.7	ล้วนกลับของค่าคงตัวเวลา เลสีบในการถ่ายเทความร้อนของ แกนเครื่องปฏิกรณ์	69
3.8	ล้วนกลับของค่าคงตัวเวลาในการถ่ายเทความร้อนของแท่ง เชือเหลิง ณ ตำแหน่งที่วัดอุณหภูมิ	73
3.9	การประมาณค่าล้วนกลับของค่าคงตัวเวลา เลสีบในการถ่ายเท ความร้อนของแกนเครื่องปฏิกรณ์	76
3.10	การประมาณค่า a	77
3.11	ค่าคงที่ในการถ่ายเทความร้อนของฉนวนกัมมันต์เดียว	81
4.	การวิจัย	83
4.1	การวัดค่าล้วนกลับของค่าคงตัวเวลา ใน การถ่ายเทความร้อน ..	83
4.2	การวัดค่าสัมประสิทธิ์อุณหภูมิย้อนกลับแบบลับพลัน	85
5.	ผลการวิจัย	90
5.1	การวัดค่าล้วนกลับของค่าคงตัวเวลา ใน การถ่ายเทความร้อน ..	90
5.2	การวัดค่าสัมประสิทธิ์อุณหภูมิย้อนกลับแบบลับพลัน	98

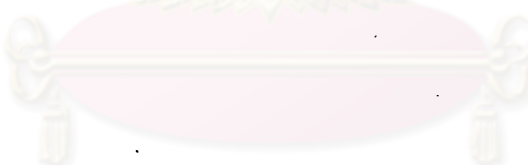
สารบัญ (ต่อ)

บทที่	หน้า
6. สู่รูปผลการวิจัยและข้อเสนอแนะ	124
6.1 สู่รูปผลการวิจัย	124
6.2 ข้อเสนอแนะ	125
เอกสารอ้างอิง	127
ภาคผนวก	131
ประวัติ	175

**ศูนย์วิทยทรัพยากร
จุฬาลงกรณ์มหาวิทยาลัย**

สารบัญตาราง

ตารางที่		หน้า
2.2.1	ผิวต่อนล่าจากปฏิก里ยาลูกโซ่ของเทอร์มัลนิวตรอน	13
2.6.1	ค่า λ และ λ' ของเชือเพลิงนิวเคลสิยร์เมื่อเกิดปฏิก리ยาลูกโซ่ จากนิวตรอนเหลังงานต่าง ๆ	29
2.8.1	ค่าสัมประสิทธิ์อุณหภูมิย้อนกลับของเครื่องปฏิกิริยาแบบ เอทเทอร์- โรส เมียบลที่ใช้ยเร เนียมความเข้มข้นท่าเบิน เชือเพลิง	36
3.3.1.1	ข้อมูลทางเทคนิคของแกง เชือเพลิงแบบมาตรฐานและแบบ LEU	59
5.1.2.1	ค่า γ_m และ γ ที่ระดับกำลังของเครื่องปฏิกิริยาระหว่าง 10 - 300 กิโลวัตต์	92
5.2.2.1	ค่า α_1 และ α_2 จากการวิจัย	116
5.2.2.2	ค่าสัมประสิทธิ์อุณหภูมิย้อนกลับแบบฉบับพัฒนาการระเพื่อม กำลังขนาดบ่อมที่ค่า เปสิบันริกฤตประมาณ 30 - 50 เช่นต์ ..	120


ศูนย์วิทยทรัพยากร
จุฬาลงกรณ์มหาวิทยาลัย

สารบัญภาพ

หัวข้อ	หน้า
1.1.1 ค่าล้มละเมิดอุณหภูมิย้อนกลับแบบฉบับพลันของเครื่องปฏิกรณ์ที่ใช้ แท่งเชือเพลิงแบบ TRIGA-LEU 10 เมกะวัตต์	3
1.6.1 ความสัมพันธ์ระหว่างค่าล้มละเมิดอุณหภูมิย้อนกลับแบบฉบับพลันของ เครื่องปฏิกรณ์ที่ใช้แท่งเชือเพลิงแบบมาตรฐานกับอุณหภูมิเฉลี่ยของ แท่งเชือเพลิง	6
1.6.2 แสดงค่าภาคตัดขวางในการดูดกสินิวตرونของ Er-167 ในยาน พลังงานรือโซนเน็ต	7
1.6.3 ความสัมพันธ์ระหว่างค่าล้มละเมิดอุณหภูมิย้อนกลับแบบฉบับพลันของ เครื่องปฏิกรณ์ที่ใช้แท่งเชือเพลิงแบบ LEU กับอุณหภูมิเฉลี่ยของ แท่งเชือเพลิง	8
1.6.4 ความสัมพันธ์ระหว่างค่าล้มละเมิดอุณหภูมิย้อนกลับแบบฉบับพลังก์ ได้จากการทดลองและการคำนวณกับอุณหภูมิเฉลี่ยโดยประมาณ ของแท่งเชือเพลิงของมหาวิทยาลัยอริโซนา	10
2.4.1 กราฟของล้มการในช่วงโมงที่มีนิวตرونล่า 6 กลุ่ม	22
2.5.1 ความสัมพันธ์ระหว่างค่าเปลี่ยนวิกฤตกับเวลาที่รอก่อนเริ่มรด ค่าคงตัวเวลาเลสิยร โดยมีความคลาดเคลื่อน 1% 5% และ 10%	26
2.6.1 กราฟของล้มการในช่วงโมงส่วนหัวรับนิวตرونล่า 6 กลุ่มเดียว	28
2.6.2 - แสดงการเบรียบเทียบรายการของล้มการในช่วงโมงโดยมีนิวตรอาม ล่า 6 กลุ่ม และกลุ่มเดียว	30
2.7.1 แสดงการเพิ่มขึ้นของความหนาแน่นของนิวตرونจากล้มการ ประมาณการกราดโดยของความหนาแน่นนิวตرون (PJ) กับการเพิ่มขึ้นกับแท็คชั่น	32

สารบัญภาพ (ต่อ)

รูปที่		หน้า
2.9.1	แสดงการเปลี่ยนแปลงภาคตัดขวางในการจับเริ่วรอน (Capture Cross Section) ของ U-238 ที่พลังงาน ยอดร้อยแนนโตรอน (E_{γ}) 6.67 ev	38
2.9.2	ค่าเฉลี่ยของนิวเคลียสเล็กซ์ในแท่งเชือเพลิงแบบ TRIGA ที่ อุณหภูมิ 23°C และ 400°C ตามลำดับ	41
2.9.3	ความสัมพันธ์ระหว่างกำลังของเครื่องปฏิกรณ์กับเวลาหลังจาก เพิ่มค่าเปลี่ยนรากคูณเป็นค่าหนึ่ง	42
2.10.1	ความสัมพันธ์ระหว่างกำลังของเครื่องปฏิกรณ์กับเวลา	46
2.10.2	ความสัมพันธ์ระหว่างอุณหภูมิของแท่งเชือเพลิงกับเวลา	47
2.10.3	ความสัมพันธ์ระหว่างกำลังของเครื่องปฏิกรณ์กับอุณหภูมิของ แท่งเชือเพลิง	47
3.2.1	แผนผังของเครื่องปฏิกรณ์ปรมาณูรีจัย-1 / ปรับปรุงครั้งที่ 1 ..	54
3.3.2	แผนผังของแกนเครื่องปฏิกรณ์ปรมาณูรีจัย-1 / ปรับปรุงครั้งที่ 1 ..	56
3.3.1.1	แท่งเชือเพลิงแบบ TRIGA	57
3.3.2.1	แท่งเชือเพลิง TRIGA แบบมีเครื่องวัดอุณหภูมิภายใน	60
3.4.1	การเคลื่อนที่ของแท่งควบคุมชนิดที่ประกอบด้วยเชือเพลิง ภายในแกนเครื่องปฏิกรณ์	62
3.5.1	แผนควบคุมของเครื่องปฏิกรณ์แบบ TRIGA	64
3.8.1	ความสัมพันธ์ระหว่างค่าล่วงกลับของค่าคงตัวเวลาในการ ถ่ายเทความร้อน	75
3.10.1	การกระจายของกำลังของเครื่องปฏิกรณ์ในแนวรัศมี	79
4.2.2.1	แผนภูมิแสดงการต่อเครื่องบันทึกgraf	87
5.1.2.1	ความสัมพันธ์ระหว่างค่า γ_{m} และ γ กับระดับกำลังของเครื่อง ปฏิกรณ์	93

สารบัญภาพ (ต่อ)

เรื่อง	หน้า
5.1.2.2.1 ความสัมพันธ์ระหว่างค่าความต้านทานทางความร้อนกับระดับกำลังของเครื่องปฏิกรณ์	95
5.2.2.1 การเปลี่ยนแปลงกำลังของเครื่องปฏิกรณ์และอุณหภูมิของแท่งเชือเพลิงเมื่อเพิ่มค่าเปลี่ยนวิกฤต 24.17 เข้นต์	102
5.2.2.2 การเปลี่ยนแปลงกำลังของเครื่องปฏิกรณ์และอุณหภูมิของแท่งเชือเพลิงเมื่อเพิ่มค่าเปลี่ยนวิกฤต 28.92 เข้นต์	103
5.2.2.3 การเปลี่ยนแปลงกำลังของเครื่องปฏิกรณ์และอุณหภูมิของแท่งเชือเพลิงเมื่อเพิ่มค่าเปลี่ยนวิกฤต 32.31 เข้นต์	104
5.2.2.4 การเปลี่ยนแปลงกำลังของเครื่องปฏิกรณ์และอุณหภูมิของแท่งเชือเพลิงเมื่อเพิ่มค่าเปลี่ยนวิกฤต 35.93 เข้นต์	105
5.2.2.5 การเปลี่ยนแปลงกำลังของเครื่องปฏิกรณ์และอุณหภูมิของแท่งแท่ง เชือเพลิง เมื่อเพิ่มค่าเปลี่ยนวิกฤต 39.59 เข้นต์	106
5.2.2.6 การเปลี่ยนแปลงกำลังของเครื่องปฏิกรณ์และอุณหภูมิของแท่งเชือเพลิงเมื่อเพิ่มค่าเปลี่ยนวิกฤต 43.35 เข้นต์	107
5.2.2.7 การเปลี่ยนแปลงกำลังของเครื่องปฏิกรณ์และอุณหภูมิของแท่งเชือเพลิงเมื่อเพิ่มค่าเปลี่ยนวิกฤต 44.75 เข้นต์	108
5.2.2.8 การเปลี่ยนแปลงกำลังของเครื่องปฏิกรณ์และอุณหภูมิของแท่งเชือเพลิง เมื่อเพิ่มค่าเปลี่ยนวิกฤต 50.46 เข้นต์	109
5.2.2.9 การเปลี่ยนแปลงกำลังของเครื่องปฏิกรณ์และอุณหภูมิของแท่งเชือเพลิงเมื่อเพิ่มค่าเปลี่ยนวิกฤต 56.58 เข้นต์	110
5.2.2.10 ความสัมพันธ์ระหว่างกำลังของเครื่องปฏิกรณ์กับอุณหภูมิของแท่ง เชือเพลิง	111
5.2.2.11 ความสัมพันธ์ระหว่างค่า x ค่า y เมื่อ $\zeta = 2.23$	112
5.2.2.12 ความสัมพันธ์ระหว่างค่า x ค่า y เมื่อ $\zeta = 1.99$	113

สารบัญภาพ (ต่อ)

ขบก	หน้า
5.2.2.13 ความสัมพันธ์ระหว่างค่า x กับ y เมื่อ $\delta = 1.67 \dots$	114
5.2.2.14 ความสัมพันธ์ระหว่างค่า x' กับ y' เมื่อ $a = 0.62 \dots$	115
5.2.2.15 ค่าสัมประสิทธิ์อุณหภูมิย้อนกลับแบบลับพลังเมื่อใช้ค่า α_1 และ α_2 ต่าง ๆ กัน.....	118
5.2.2.16 ความสัมพันธ์ระหว่างค่าสัมประสิทธิ์อุณหภูมิย้อนกลับแบบ ลับพลังกับอุณหภูมิเฉลี่ยโดยประมาณของแท่ง เปื้อເສີງ ໃນແກນເຄື່ອງປູກຮັດ	122
5.2.2.17 ความสัมพันธ์ระหว่างค่าสัมประสิทธิ์อุณหภูมิย้อนกลับแบบ ลับพลังกับอุณหภูมิของแท่งເຂົ້ວເພີ້ງ B1 ที่วัดໄດ້ຈາກເທອຣໂມ- ຄັ້ງເປັບຕົວກາງ	123

ศูนย์วิทยทรัพยากร
จุฬาลงกรณ์มหาวิทยาลัย